

$$1. \Delta G = -V\Delta G_v + \sum A_i \gamma_i$$

$$= -V\Delta G_v + (l^2 + 4lh)\gamma_{cv} + l^2\gamma_{sc} - l^2\gamma_{vs}$$

$$= -l^2 h \Delta G_v + (l^2 + 4lh)\gamma_{cv}$$

$\gamma_{vs} = \gamma_{sc} + \gamma_{cv} \cos 90^\circ = \gamma_{sc}$

$$i) \left( \frac{\partial \Delta G}{\partial h} \right)_{h=h^*, l=l^*} = -l^* \Delta G_v + 4l^* \gamma_{cv} = 0$$

$$\therefore l^* = \frac{4\gamma_{cv}}{\Delta G_v}$$

$$ii) \left( \frac{\partial \Delta G}{\partial l} \right)_{h=h^*, l=l^*} = -2l^* h^* \Delta G_v + (2l^* + 4h^*) \gamma_{cv} = 0$$

$$= -\frac{8\gamma_{cv}}{\Delta G_v} h^* \cdot \Delta G_v + \left( \frac{8\gamma_{cv}}{\Delta G_v} + 4h^* \right) \gamma_{cv} = -8\gamma_{cv} h^* + \frac{8\gamma_{cv}^2}{\Delta G_v} + 4h^* \gamma_{cv}$$

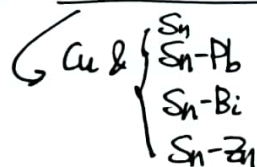
$$\boxed{\therefore h^* = \frac{2\gamma_{cv}}{\Delta G_v}}$$

$$iii) \Delta G^* = -\frac{16\gamma_{cv}^2}{\Delta G_v^2} \cdot \frac{2\gamma_{cv}}{\Delta G_v} \cdot \Delta G_v + \left( \frac{16\gamma_{cv}^2}{\Delta G_v^2} + 4 \cdot \frac{4\gamma_{cv}}{\Delta G_v} \cdot \frac{2\gamma_{cv}}{\Delta G_v} \right) \gamma_{cv}$$

$$= -\frac{32\gamma_{cv}^3}{\Delta G_v^2} + \frac{48\gamma_{cv}^3}{\Delta G_v^2} = \boxed{\frac{16\gamma_{cv}^3}{\Delta G_v^2}}$$

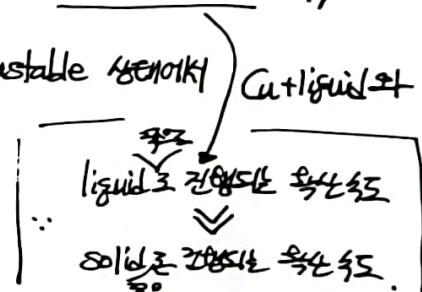
## 2. ① Prediction of interface reaction products ... Cu and Various Solder Alloys...

- 목표: Cu + Solder alloy 간의 soldering 과정에서 발생하는 interface reaction product 예측하기.

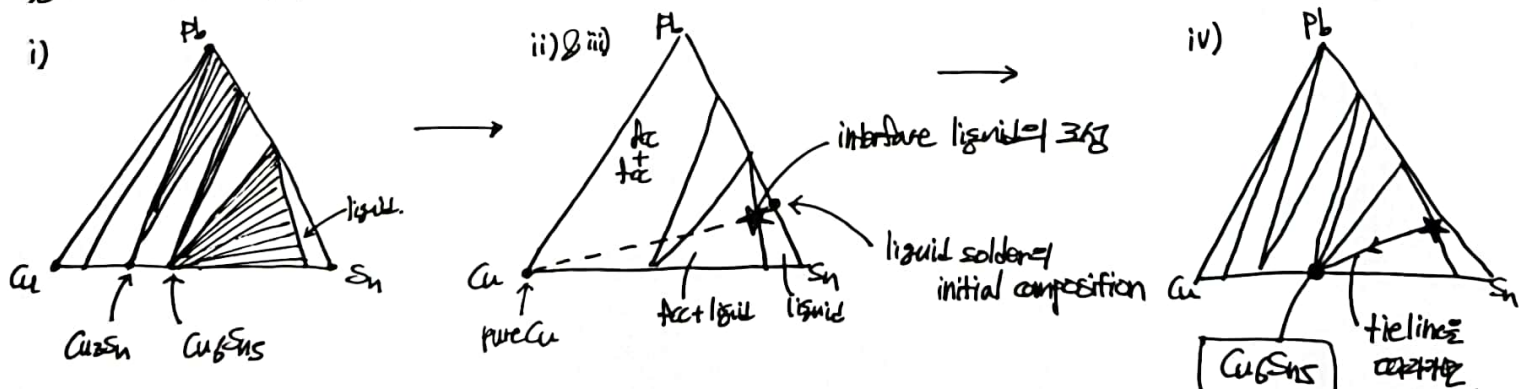


Solder wetting을 통해 Metal-ceramic interface에서 interface reaction product를 예측하기.  
 Cu의 금속으로서 diffusion →  
 Sn은 수 없도록 기반으로 metal-ceramic 사이의  
 interface reaction product를 예측하는 method의 일환.  
first-forming layer를 보는 경우.

- 접근방법:
  - i) substrate/solder alloy의 ternary system의 phase diagram (isothermal) 22기.
  - ii) metastable equilibrium (interface reaction product X)를 가정하고 아래의 system을 i)를 통해 구해기.
  - iii) liquid interface에서 solder alloy의 element와 element의 반응이 유발로 그을 가정할 수 있기 때문에,  
 "pure Cu and liquid solder의 initial composition"과 "metastable 상태의 liquid phase boundary"의 경계는 interface의 38.
  - iv) tie-line을 사용하여 따라가서 phase diagram에서  
 부른 compound로 대체하는게 좋다.
  - v) driving force 및 driving force에 대한 driving force 계산하기.



- 예제: Cu + Sn-Pb =?



- 예제: Cu + Sn-Ag의 경우 isothermal section이 원래의 농도에서 만들수.

이를 경우에도 이 방식을 통해 interface reaction product를 예측할 수 있다.

2. ② Prediction of Ti/Al<sub>2</sub>O<sub>3</sub> Interface Reaction ...

- 결론: Ti / Al<sub>2</sub>O<sub>3</sub> metal-ceramic joining에서 발생하는 interface reaction product 예상하기.

↳ 2D에서 등온은 metastable equilibrium을 활용하는 방식을 사용.

그때의 차이점: solid/liquid interface에서는 liquid 쪽으로 확산되는 정도가 solid 쪽으로 확산되는 정도보다 매우 빨라 380°C일 때 100%이다고 기록되었음.

⇒ solid/solid interface에서는 해당 가능 X.

그리면 ~~solid~~ interface의 조건을 어떻게 알아내야? ... diffusion simulation.

- 결론: 2.①의 i), ii) 까지 동일하게 적용.

iii) diffusion simulation (multicomponent diffusion 계)을 활용하여 시선을 diffusion path 예상하기.

iv) 초기 interface 조건으로 driving force로 예상하여 interface reaction product 예상하기.

v) 얻어온 product composition을 추적해 시선에 따라 변화하는지를 확인.

- 실증 결과: 초기에는 diffusion path에 따르면 Ti<sub>3</sub>Al이 각종 driving force가 됨. ∴ Ti<sub>3</sub>Al이 형성됨.

↳ O의 diffusion이 Ti에 비해 훨씬 빨라 activity가 거의 0.

⇒ diffusion path는 O의 activity curve를 따릅니다.

- Ti<sub>3</sub>Al이 형성된 뒤 시선이 더 진다면 Ti 내용 O의 saturation은.

이에 따라 diffusion path에서 알 수 있는 interface composition은 Al의 경우 O가 높아짐.

∴ O potential이 높아져 Ti<sub>3</sub>Al의 양 증가, Ti<sub>2</sub>Al 증가 → 시선에 따라 Ti<sub>3</sub>Al → Ti<sub>2</sub>Al

- 예측 VS 실제 실험 결과: 예상하는 결과가 맞는지 확인하기 위해 표준화.

① Ti / Al<sub>2</sub>O<sub>3</sub>에서 Ti layer가 충분히 두께일 경우

⇒ Ti<sub>3</sub>Al은 Ti가 O에 saturation 되었을 때까지 증가하면서, Ti가 두께로 saturation이 되었을 때까지 차례로 증가해나갈 것입니다.

⇒ 실제 실험 결과에서도 Ti<sub>3</sub>Al과 Ti<sub>2</sub>Al 모두 관찰됨.

② Ti layer가 얕은 경우

⇒ Ti layer가 얕으면 saturation이 되기 전에 이미 Ti<sub>3</sub>Al → Ti<sub>2</sub>Al으로 바뀌기 때문.

⇒ 실제 실험에서도 Ti<sub>2</sub>Al만 관찰됨.